

**1 Problema**

**2 Problema**

### 3 Problema

O problema colocado é descrito na literatura como Problema do Carteiro Chines Direcionado. O método que vamos apresentar para solucionar problemas desse tipo foi descrito por Thimbleby (2003) baseado no problema clássico de transportes apresentado por Beltrami & Bodin (1972).

Seja um Digrafo  $D = (V, A)$  com  $V = \{v_1, v_2, v_3, \dots, v_i\}$  o conjunto de vértices e  $A = \{a_1, a_2, a_3, \dots, a_n\}$  o conjunto dos arcos, vamos dar algumas definições:

**Grau de saída** de  $v$  - o número total de vértices saindo de  $v$ , denotaremos por  $d^+(v)$

**Grau de entrada** de  $v$  - o número total de vértices entrando em  $v$ , denotaremos por  $d^-(v)$

**Vértice balanceado** - quando o grau de entrada é igual ao grau de saída. Um vértice é balanceado se  $\delta(v) = d^+(v) - d^-(v) = 0$  e desbalanceado nos casos que  $\delta \neq 0$ .

**Variáveis de decisão** - denotadas por  $x_{i,j}$  a quantidade de arcos a serem acrescentados no caminho  $i \rightarrow j$

**Custo** - denotado por  $c_{i,j}$  se refere ao peso do caminho  $i \rightarrow j$

Denotaremos por  $D^+ = \{v | \delta(v) > 0\}$  o conjunto de vértices desbalanceados com excesso de arcos de saída.

Denotaremos por  $D^- = \{v | \delta(v) < 0\}$  o conjunto de vértices desbalanceados com excesso de arcos de entrada.

#### 3.1 Algoritmo

1. Determinar  $\delta(v)$  para cada vertice,  $D^+$ ,  $D^-$  e  $c_{i,j}$ .
2. Encontrar a função objetivo  $Z$  a ser minimizada. Ela é encontrada resolvendo o seguinte Problema de Programação Linear (PPL):

$$\min \sum c_{i,j} x_{i,j}$$

sujeito as seguintes restrições:

$$\sum_{j \in D^+} x_{i,j} = -\delta(i)$$

$$\sum_{i \in D^-} x_{i,j} = \delta(j)$$

$x_{i,j}$  são inteiros positivos.

3. Construir o ciclo euleriano com base no algoritmo de Hierholzer.

Na figura 1 mostramos um fluxograma para a solução de problemas deste tipo.

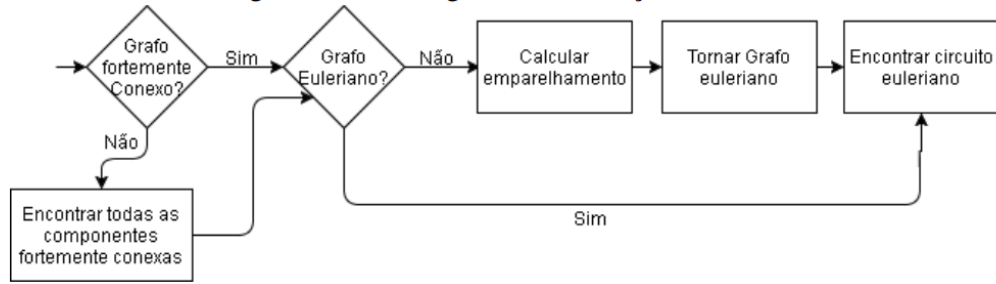


Figure 1: Fluxograma para o Problema do Carteiro Chinês Direcionado

O Problema do Carteiro Chinês direcionado pode ser facilmente solucionado se todos vértices do dígrafo forem balanceados. Neste trabalho iremos apenas focar em dígrafos que apresentam vértices desbalanceados.

### 3.2 Exemplo

Seja um dígrafo  $D$  orientado e valorado apresentado na figura 2. Vamos encontrar nele um ciclo euleriano.

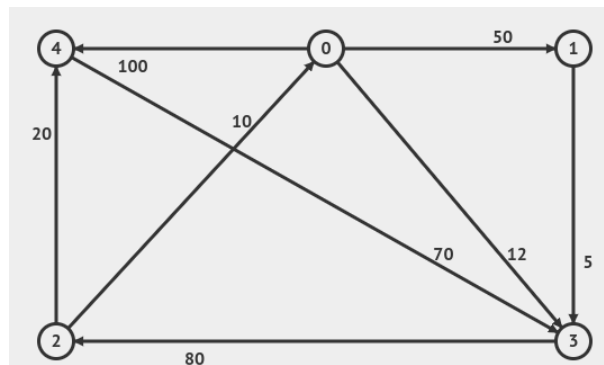


Figure 2: Dígrafo  $D$ .

Vamos determinar  $\delta(v)$ .

$$\delta(0) = 2, \delta(1) = 0, \delta(2) = 1, \delta(3) = -2 \text{ e } \delta(4) = -1$$

Os vértices 0, 2, 3 e 4 estão desbalanceados. Apenas o vértice 1 está balanceado.

Assim podemos criar dois conjuntos  $D^- = \{3, 4\}$  e  $D^+ = \{0, 2\}$ . Juntos formam um subgrafo  $D'$ , bipartido, contendo os vértices 0, 2, 3 e 4 Como ilustra figura 3

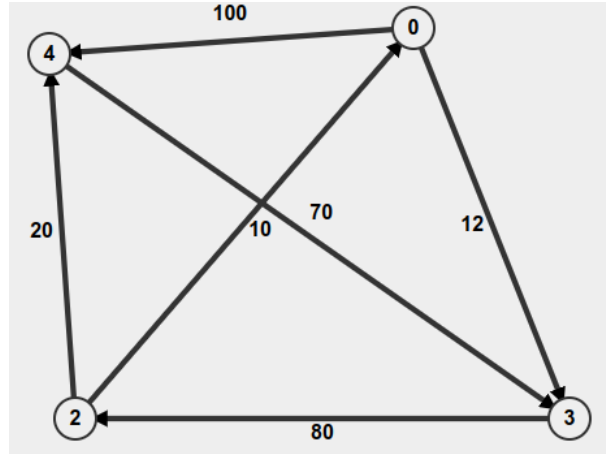


Figure 3: Subgrafo de G.

Para determinar os custos  $c_{i,j}$  vamos calcular as distâncias mínimas entre os vértices usando o algoritmo de Dijkstra. Em alternativa pode ser também usado o algoritmo de Floyd-Warshall.

Origem	Destino	Distância	Caminho
0	2	92	0-3-2
0	3	12	0-3
0	4	100	0-4
2	0	10	2-0
2	3	22	2-0-3
2	4	20	2-4
3	0	90	3-2-0
3	2	80	3-2
3	4	100	3-2-4
4	0	160	4-3-2-0
4	2	150	4-3-2
4	3	70	4-3

Table 1: Distância mínima entre os vértices usando o Algoritmo de Dijkstra.

Podemos agora representar os arcos no dígrafo  $D'$ , de modo que cada arco tenha distância mínima calculada anteriormente. Isso transforma  $D'$  em um  $K_{12}$ . A figura 4 ilustra isso:

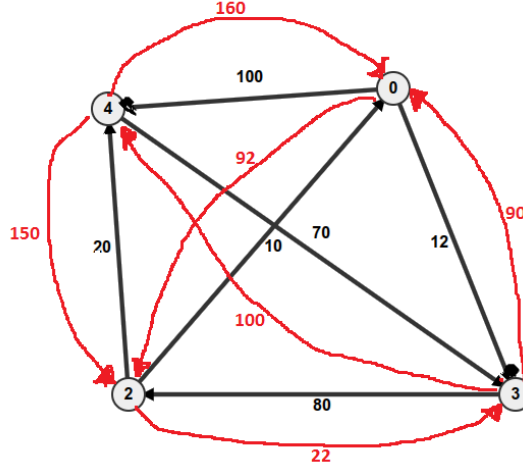


Figure 4: Subgrafo completo de D com as distâncias mínimas inseridas.

O problema agora passa por solucionar quais dos arcos (na cor vermelha) serão mantidos, removidos ou duplicados para que  $D'$  tenha um ciclo euleriano com custo mínimo. Para isso podemos usar o modelo de PPL descrito no passo 2 do algoritmo.

$\min Z$

$$Z = 92x_{0,2} + 12x_{0,3} + 100x_{0,4} + 10x_{2,0} + 22x_{2,3} + 20x_{2,4} + 90x_{3,0} + 80x_{3,2} + 100x_{3,4} + 160x_{4,0} + 150x_{4,2} + 70x_{4,3}$$

sujeito à:

- Restrição para o vértice **0**:  $x_{3,0} + x_{3,2} = 2$
- Restrição para o vértice **2**:  $x_{4,0} + x_{4,2} = 1$
- Restrição para o vértice **3**:  $x_{3,0} + x_{4,0} = 2$
- Restrição para o vértice **4**:  $x_{2,3} + x_{2,4} = 1$

Os resultados para a execução do modelo de PPL anterior estão descritos na tabela 2. Este resultado nos informa que o grafo euleriano será obtido duplicando os arcos no caminho mínimo entre os vértices 3 e 0, entre os vértices 3 e 2 e entre os vértices 4 e 0.

Variável	$x_{0,4}$	$x_{3,0}$	$x_{0,3}$	$x_{0,2}$	$x_{3,4}$	$x_{4,2}$	$x_{3,2}$	$x_{2,3}$	$x_{4,0}$	$x_{2,4}$	$x_{2,0}$	$x_{4,3}$
Valor	0	1	0	0	0	0	1	0	1	0	0	0

Table 2: Resultado da execução do modelo de PPL.

De acordo com a tabela 1 que nos mostra a distancia mínima, no caminho 3 e 0 temos 2 arcos, no caminho 3 e 2 temos 1 arcos e no caminho 4 e 0 temos 3 arcos. Ao todo temos 6 arcos.

A figura mostra o dígrafo após inserção dos novos arcos para formar o ciclo euleriano.

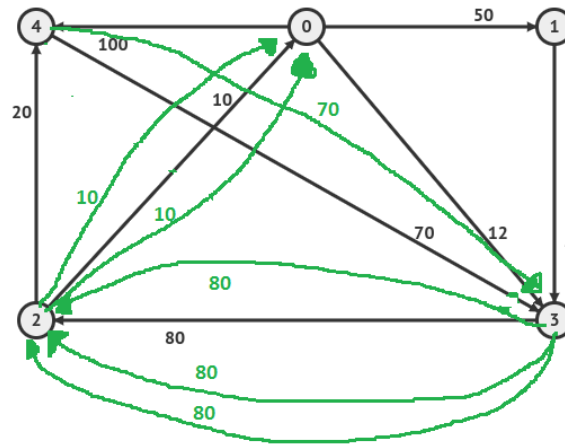


Figure 5: Dígrafo D com ciclo euleriano.

O algoritmo de Hierholzer (que é uma variação do algoritmo de Fleury para grafos orientados) pode ser usado para encontrar o ciclo euleriano. O ciclo euleriano para este exemplo será: 0-3-2-0-4-3-2-0-1-3-2-4-3-2-0. O custo mínimo é obtido somando o peso de todos arcos percorridos, no caso 677.

### 3.3 Complexidade

A complexidade do método descrito acima depende do algoritmo usado para solucionar o modelo de PPL. O algoritmo descrito acima quando empregado com o método simplex pode oferecer uma complexidade exponencial dependendo do número de vértices do subgrafo  $D$  e do número de restrições. Porém, outros métodos como o método de pontos interiores são mais eficientes e quando empregados torna esse algoritmo eficiente entregando uma complexidade  $O(mn^2)$ .

### 3.4 Código Java

Este código está disponível no github Clique aqui

Ou pelo link: <https://github.com/feliperasan/Eulerian-Graph>

## 4 Referências

Beltrami, E.J. & Bodin, L.D.(1972). *Networks and vehicle routing for municipal waste collection*. Report No. UPS 72-18, State University of New York. Stony Brook, NY.

Thimbleby, H. (2003). *The directed Chinese Postman Problem*. Softw., Pract. Exper.. 33. 1081-1096. 10.1002/spe.540.

Verberk, L. (2019). *The Chinese postman problem in undirected and directed graphs*. Eindhoven University of Technology.